

Starkniederschlagshöhen und -spenden gemäß KOSTRA-DWD-2010R

Auswertungszeitraum von 1951 - 2010, Januar - Dezember

Rasterfeld: 72044

Zeile: 72

Spalte: 44

Seite: 1/2

| Dauerstufe D | Wiederkehrzeit T | | | | | | | | | | | | | | | | | | |
|--------------|------------------|------|------------|------|------------|------|------------|------|------------|------|------------|------|------------|------|------------|-------|------------|-------|------------|
| | 1 a | | 2 a | | 3 a | | 5 a | | 10 a | | 20 a | | 30 a | | 50 a | | 100 a | | |
| min | Std | mm | l / (s ha) | mm | l / (s ha) | mm | l / (s ha) | mm | l / (s ha) | mm | l / (s ha) | mm | l / (s ha) | mm | l / (s ha) | mm | l / (s ha) | mm | l / (s ha) |
| 5 | | 5,3 | 176,7 | 7,0 | 233,3 | 8,1 | 270,0 | 9,4 | 313,3 | 11,1 | 370,0 | 12,9 | 430,0 | 13,9 | 463,3 | 15,2 | 506,7 | 17,0 | 566,7 |
| 10 | | 8,3 | 138,3 | 10,8 | 180,0 | 12,2 | 203,3 | 14,0 | 233,3 | 16,5 | 275,0 | 18,9 | 315,0 | 20,4 | 340,0 | 22,2 | 370,0 | 24,6 | 410,0 |
| 15 | | 10,3 | 114,4 | 13,3 | 147,8 | 15,0 | 166,7 | 17,2 | 191,1 | 20,2 | 224,4 | 23,2 | 257,8 | 24,9 | 276,7 | 27,1 | 301,1 | 30,1 | 334,4 |
| 20 | | 11,7 | 97,5 | 15,1 | 125,8 | 17,1 | 142,5 | 19,6 | 163,3 | 23,1 | 192,5 | 26,5 | 220,8 | 28,5 | 237,5 | 31,0 | 258,3 | 34,4 | 286,7 |
| 30 | | 13,5 | 75,0 | 17,7 | 98,3 | 20,1 | 111,7 | 23,2 | 128,9 | 27,3 | 151,7 | 31,5 | 175,0 | 33,9 | 188,3 | 37,0 | 205,6 | 41,1 | 228,3 |
| 45 | | 15,1 | 55,9 | 20,1 | 74,4 | 23,1 | 85,6 | 26,8 | 99,3 | 31,8 | 117,8 | 36,9 | 136,7 | 39,8 | 147,4 | 43,6 | 161,5 | 48,6 | 180,0 |
| 60 | | 16,0 | 44,4 | 21,8 | 60,6 | 25,2 | 70,0 | 29,5 | 81,9 | 35,2 | 97,8 | 41,0 | 113,9 | 44,4 | 123,3 | 48,7 | 135,3 | 54,5 | 151,4 |
| 90 | | 17,7 | 32,8 | 23,7 | 43,9 | 27,2 | 50,4 | 31,7 | 58,7 | 37,7 | 69,8 | 43,8 | 81,1 | 47,3 | 87,6 | 51,7 | 95,7 | 57,8 | 107,0 |
| 120 | 2 | 19,0 | 26,4 | 25,2 | 35,0 | 28,8 | 40,0 | 33,4 | 46,4 | 39,6 | 55,0 | 45,8 | 63,6 | 49,5 | 68,8 | 54,0 | 75,0 | 60,2 | 83,6 |
| 180 | 3 | 21,0 | 19,4 | 27,4 | 25,4 | 31,2 | 28,9 | 36,0 | 33,3 | 42,5 | 39,4 | 48,9 | 45,3 | 52,7 | 48,8 | 57,5 | 53,2 | 63,9 | 59,2 |
| 240 | 4 | 22,5 | 15,6 | 29,2 | 20,3 | 33,1 | 23,0 | 38,0 | 26,4 | 44,6 | 31,0 | 51,3 | 35,6 | 55,2 | 38,3 | 60,1 | 41,7 | 66,7 | 46,3 |
| 360 | 6 | 24,9 | 11,5 | 31,8 | 14,7 | 35,9 | 16,6 | 41,0 | 19,0 | 47,9 | 22,2 | 54,8 | 25,4 | 58,9 | 27,3 | 64,0 | 29,6 | 70,9 | 32,8 |
| 540 | 9 | 27,5 | 8,5 | 34,7 | 10,7 | 38,9 | 12,0 | 44,2 | 13,6 | 51,5 | 15,9 | 58,7 | 18,1 | 62,9 | 19,4 | 68,2 | 21,0 | 75,4 | 23,3 |
| 720 | 12 | 29,5 | 6,8 | 36,9 | 8,5 | 41,3 | 9,6 | 46,8 | 10,8 | 54,2 | 12,5 | 61,6 | 14,3 | 66,0 | 15,3 | 71,4 | 16,5 | 78,9 | 18,3 |
| 1080 | 18 | 32,6 | 5,0 | 40,3 | 6,2 | 44,9 | 6,9 | 50,6 | 7,8 | 58,3 | 9,0 | 66,0 | 10,2 | 70,6 | 10,9 | 76,3 | 11,8 | 84,0 | 13,0 |
| 1440 | 24 | 35,0 | 4,1 | 43,0 | 5,0 | 47,6 | 5,5 | 53,5 | 6,2 | 61,4 | 7,1 | 69,4 | 8,0 | 74,1 | 8,6 | 79,9 | 9,2 | 87,9 | 10,2 |
| 2880 | 48 | 42,8 | 2,5 | 51,5 | 3,0 | 56,7 | 3,3 | 63,1 | 3,7 | 71,9 | 4,2 | 80,6 | 4,7 | 85,8 | 5,0 | 92,2 | 5,3 | 101,0 | 5,8 |
| 4320 | 72 | 48,1 | 1,9 | 57,3 | 2,2 | 62,7 | 2,4 | 69,5 | 2,7 | 78,8 | 3,0 | 88,0 | 3,4 | 93,4 | 3,6 | 100,2 | 3,9 | 109,4 | 4,2 |

Angaben in mm: Bemessungsniederschlagswerte h(n)

Angaben in l / (s ha): Regenspende R(n) mit $R(n) = h(n) \times 1,666667 / D[\text{min}]$

Toleranzbereiche:

+/- 10 % für $1 a \leq T \leq 5 a$

+/- 15 % für $5 a < T \leq 50 a$

+/- 20 % für $50 a < T \leq 100 a$

Datenbasis: KOSTRA-DWD-2010R des Deutschen Wetterdienstes. Die Regenspende wurde auf Basis des Bemessungsniederschlags zur jeweiligen Andauer berechnet.

Für die Richtigkeit und Aktualität der Angaben wird keine Gewähr übernommen. Erstellt 07/2022.

Starkniederschlagshöhen und -spenden gemäß KOSTRA-DWD-2010R

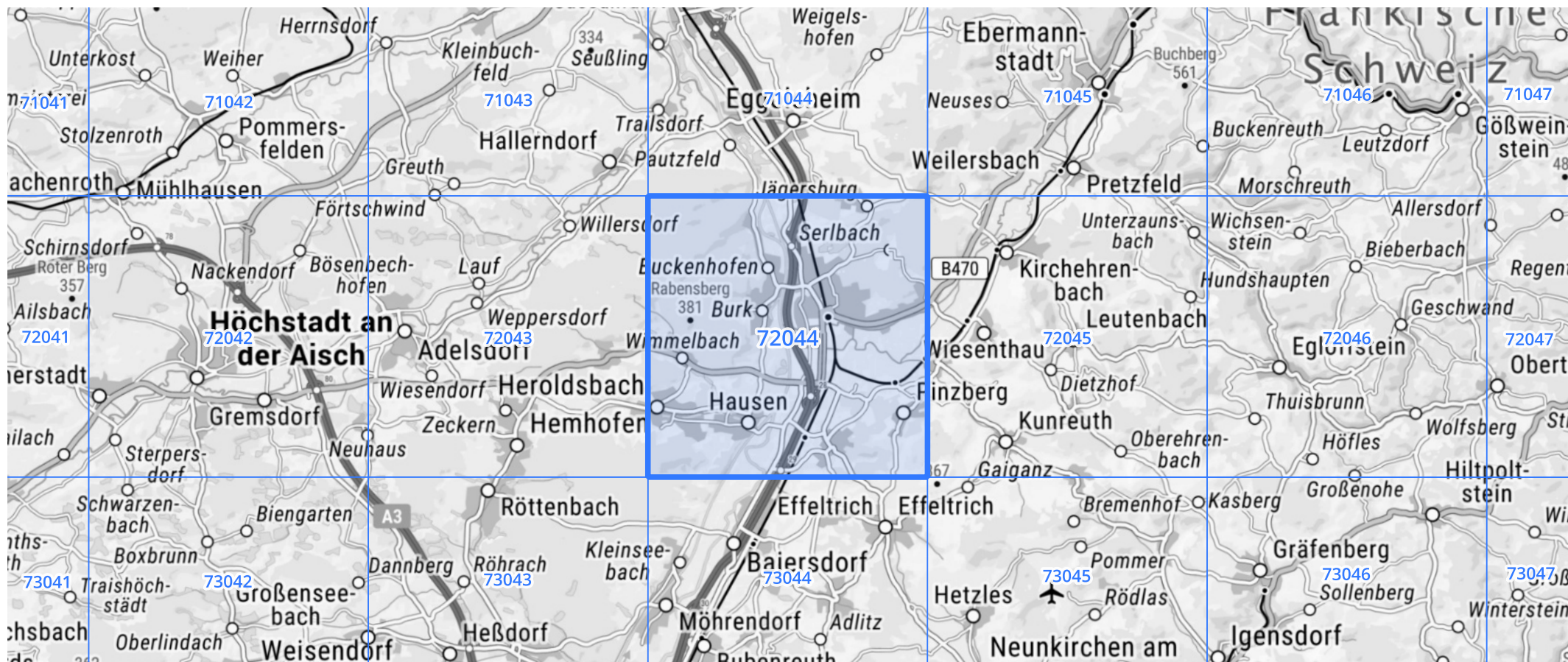
Auswertungszeitraum von 1951 - 2010, Januar - Dezember

Rasterfeld: 72044

Zeile: 72

Spalte: 44

Seite: 2/2



Quelle Rasterdaten: KOSTRA-DWD-2010R des Deutschen Wetterdienstes.

Kartendarstellung: © Bundesamt für Kartographie und Geodäsie (2022), Datenquellen: https://sgx.geodatenzentrum.de/web_public/gdz/datenquellen/Datenquellen_TopPlusOpen.html

Für die Richtigkeit und Aktualität der Angaben wird keine Gewähr übernommen. Erstellt 07/2022.